



Laboratorium Badań Środowiskowych  
ul. Józefa Piusa Dziekońskiego 3  
00-728 Warszawa  
e-mail: [Laboratorium@networks.pl](mailto:Laboratorium@networks.pl)



AB 419

S P R A W O Z D A N I E 1458/2022/OS  
Z POMIARÓW PÓL ELEKTROMAGNETYCZNYCH  
WYKONANYCH DLA POTRZEB OCHRONY ŚRODOWISKA

Badany obiekt: Instalacja radiokomunikacyjna T-Mobile Polska S.A.  
Numer i nazwa: 35000 (45002N!) GBY\_BYDGOSZCZ\_JAGIELLOŃSKA6  
Adres: BYDGOSZCZ, JAGIELLOŃSKA 6, Powiat m. Bydgoszcz, WOJ. KUJAWSKO-  
POMORSKIE

Data wykonania pomiarów: 2023-08-02

Sprawozdanie z badań bez pisemnej zgody laboratorium nie może być powielane inaczej niż w całości.  
Wynik przedstawione w niniejszym sprawozdaniu odnoszą się wyłącznie do badanego obiektu i do warunków i konfiguracji  
urządzeń w dniu wykonywania pomiarów.

**1. Właściciel badanego obiektu:**

T-Mobile Polska S.A., ul. Marynarska 12, 02-674 Warszawa

**2. Zleceniodawca:**

T-Mobile Polska S.A., ul. Marynarska 12, 02-674 Warszawa

**3. Przedstawiciel zleceniodawcy:**

NetWorkS! Sp.z o.o.

**4. Zakres zlecenia:**

Wykonanie badania i opracowanie sprawozdania z pomiarów natężenia pola elektrycznego i pola magnetycznego dla instalacji radiokomunikacyjnej T-Mobile Polska S.A. zlokalizowanej w miejscowości BYDGOSZCZ, JAGIELLOŃSKA 6.

**5. Cel zlecenia:**

Wykonanie pomiarów pól elektromagnetycznych w otoczeniu instalacji radiokomunikacyjnej 35000 (45002N!) GBY\_BYDGOSZCZ\_JAGIELLOŃSKA6 w odniesieniu do wymagań określonych w *Rozporządzeniu Ministra Klimatu z dnia 17 lutego 2020 r. w sprawie sposobów sprawdzania dotrzymania dopuszczalnych poziomów pól elektromagnetycznych w środowisku (Dz.U. 2022 poz. 2630)*.

**6. Pomiary zostały wykonane przez:**



**7. Informacje o źródłach pól elektromagnetycznych**

**7.1. Sposób identyfikacji badanych źródeł pól elektromagnetycznych**

Identyfikacji źródeł i parametrów technicznych dokonano na podstawie analizy dokumentacji dotyczącej zlecenia oraz obserwacji miejsca wykonywania badań.

**7.2. Opis miejsca zainstalowania anten i urządzeń technicznych. Opis obiektu badań i jego otoczenia**

Instalacja radiokomunikacyjna zlokalizowana jest w budynku. Anteny zawieszono na wieży budynku. Urządzenia sterujące oraz zasilające zainstalowano w pomieszczeniu na strychu. Wokół instalacji znajduje się miasto.

Instalacja radiokomunikacyjna jest obiektem bezobsługowym. Okresowe stanowiska pracy związane są z prowadzonymi w zależności od potrzeb konserwacjami, przeglądami, strojeniem i naprawami.

Sprawozdanie z badań bez pisemnej zgody laboratorium nie może być powielane inaczej niż w całości.  
Wynik przedstawione w niniejszym sprawozdaniu odnoszą się wyłącznie do badanego obiektu i do warunków i konfiguracji urządzeń w dniu wykonywania pomiarów.

### 7.3. Parametry techniczne źródła pola elektromagnetycznego

Dane przedstawiające maksymalne parametry pracy instalacji przekazane przez zleceniodawcę:

Parametry systemu nadawczo-odbiorczego:

Charakterystyka promieniowania		kierunkowa					
Rzeczywisty czas pracy [h/dobę]		24					
Warunki pracy		znamionowe					
Rodzaj wytwarzanego pola		stacjonarne					
Lp.	Częstotliwość lub zakresy częstotliwości pracy [MHz]	Typ/producent anteny	liczba anten	Azymut [°]	kąt pochylenia* [°]	Wysokość środka elektrycznego anteny [m n.p.t]	Równoważna moc promieniowana izotropowo (EIRP) [W]
1	900/1800/2100/2600	ASI4518R41v06 Huawei	1	240	2/4/4/2	28.3	9970

\* wskazane wartości kąta pochylenia anten, zgodnie z informacją uzyskaną od zleceniodawcy, są wartościami stałymi

Parametry radiolinii:

Charakterystyka promieniowania		kierunkowa					
Rzeczywisty czas pracy [h/dobę]		24					
Warunki pracy		znamionowe					
Rodzaj wytwarzanego pola		stacjonarne					
Lp.	Linia radiowa			Antena			
	Typ/ Producent	Częstotliwość pracy [GHz]	Równoważna moc promieniowana izotropowo (EIRP) [W]	Typ/ producent	Średnica anteny [m]	Azymut [°]	Wysokość zainstalowania n.p.t [m]
1.	NP ERICSSON PT 6020 70/80GHz 250MHz Ericsson	80	14	ANT2_0.2 80 HP Ericsson	0.2	320	30

### 7.4 Inne źródła pól elektromagnetycznych

Na podstawie informacji otrzymanych od użytkownika oraz obserwacji otoczenia miejsca wykonywania pomiarów nie stwierdzono występowania innych źródeł pola-EM

## 8. Opis pomiarów

### 8.1. Metoda badań

Zgodna z rozporządzeniem Ministra Klimatu z dnia 17 lutego 2020 r. w sprawie sposobów sprawdzania dotrzymania dopuszczalnych poziomów pól elektromagnetycznych w środowisku (Dz.U. 2022 poz. 2630), określona w pkt 25 ppkt 1 załącznika do niniejszego rozporządzenia.

### 8.2. Termin pomiarów i warunki środowiskowe

Podczas wykonywania pomiarów pól elektromagnetycznych nie występowały opady atmosferyczne. Wyniki pomiaru parametrów pogodowych przedstawia poniższa tabela:

Data [rrrr-mm-dd]	Godzina [hh:mm-hh:mm]	Warunki środowiskowe			
		Temperatura [°C]		Wilgotność względna [%]	
2023-08-02	12:10-13:10	Przed pomiarem	Po pomiarach	Przed pomiarem	Po pomiarach
		21.0	21.4	59.4	58.7

Przedstawione wyżej warunki środowiskowe, występujące podczas wykonywania pomiarów pól elektromagnetycznych, są zgodne ze specyfikacją techniczną użytego zestawu pomiarowego.

Sprawozdanie z badań bez pisemnej zgody laboratorium nie może być powielane inaczej niż w całości. Wynik przedstawione w niniejszym sprawozdaniu odnoszą się wyłącznie do badanego obiektu i do warunków i konfiguracji urządzeń w dniu wykonywania pomiarów.

### 8.3. Warunki pracy urządzeń nadawczych

Podczas pomiarów w przypadku uzyskania wyniku pomiaru szerokopasmowego wykonanego zastosowaną metodą, dla zakresów częstotliwości od 10 MHz do 300 GHz, powiększonego o rozszerzoną niepewność pomiaru  $U$  dla współczynnika rozszerzenia  $k = 2$  przekraczającego 70% najniższej dopuszczalnej wartości składowej elektrycznej lub magnetycznej pola dla objętych pomiarami zakresów częstotliwości, uwzględnia się poprawki pomiarowe przekazane przez zleceniodawcę, umożliwiające uwzględnienie maksymalnych parametrów pracy instalacji zgodnie z pkt 7 załącznika do Rozporządzeniem Ministra Klimatu z dnia 17 lutego 2020 r. w sprawie sposobów sprawdzania dotrzymania dopuszczalnych poziomów pól elektromagnetycznych w środowisku (Dz. U. 2022, poz. 2630) zaznaczając, że wymagane jest wykonanie pomiaru z wykorzystaniem miernika selektywnego. W przypadku uzyskania wyniku pomiaru szerokopasmowego wykonanego zastosowaną metodą, dla zakresów częstotliwości od 10 MHz do 300 GHz, powiększonego o rozszerzoną niepewność pomiaru  $U$  dla współczynnika rozszerzenia  $k = 2$  nieprzekraczającego 70% najniższej dopuszczalnej wartości składowej elektrycznej lub magnetycznej pola dla objętych pomiarami zakresów częstotliwości, nie uwzględnia się poprawek pomiarowych.

### 8.4. Wyposażenie pomiarowe

Zestaw pomiarowy służący do pomiaru natężenia składowej elektrycznej pola elektromagnetycznego złożony z szerokopasmowego miernika i sondy pomiarowej:

Oznaczenie miernika	Producent	Model	Numer fabryczny	Oznaczenie sondy	Producent	Model	Numer fabryczny
M-19	Narda Safety Test Solution	Miernik pól elektromagnetycznych NBM-550	H-0129	S-19	Narda Safety Test Solution	Sonda EF909 1	A-0057

Mierniki natężenia pola elektromagnetycznego podlegają okresowemu sprawdzeniu zgodnie z procedurą wewnętrzną P-03 i PB-01. Świadectwo wzorcowania zestawu pomiarowego z dnia 22 maja 2023 o numerze LWiMP/W/175/23 wydane przez Politechnika Wrocławską.

Data ważności świadectwa wzorcowania: 22 maja 2025 (zgodnie z procedurą wewnętrzną P-03).

Oznaczenie miernika	Producent	Model	Numer fabryczny	Oznaczenie sondy	Producent	Model	Numer fabryczny
M-19	Narda Safety Test Solution	Miernik pól elektromagnetycznych NBM-550	H-0129	S-20	Narda Safety Test Solution	Sonda EF039 1	D-1438

Mierniki natężenia pola elektromagnetycznego podlegają okresowemu sprawdzeniu zgodnie z procedurą wewnętrzną P-03 i PB-01. Świadectwo wzorcowania zestawu pomiarowego z dnia 22 maja 2023 o numerze LWiMP/W/176/23 wydane przez Politechnika Wrocławską.

Data ważności świadectwa wzorcowania: 22 maja 2025 (zgodnie z procedurą wewnętrzną P-03).

#### Termohigrometr:

Oznaczenie:	TH-22	Producent:	AZ INSTRUMENT CORP	Model:	Termohigrometr AZ8706
-------------	-------	------------	--------------------	--------	-----------------------

Data ważności świadectwa wzorcowania: 17 grudnia 2023 (zgodnie z procedurą wewnętrzną P-03).

#### Dalmierz:

Oznaczenie	Producent	Typ	Numer seryjny	Nr świadectwa wzorcowania	Data świadectwa wzorcowania
D-11	Leica	Dalmierz Leica Disto D510	1042957453	4609.22-M11-4180-1748/14	9 stycznia 2015

Data ważności świadectwa wzorcowania: 9 stycznia 2025 (zgodnie z procedurą wewnętrzną P-03).

#### Odbiornik GNSS:

Oznaczenie	Producent	Model	Numer fabryczny
G-01	Stonex	S7-G GIS	S7G4083040009

Odbiorniki podlegają okresowemu sprawdzeniu zgodnie z procedurą wewnętrzną P-03.

Sprawozdanie z badań bez pisemnej zgody laboratorium nie może być powielane inaczej niż w całości. Wynik przedstawione w niniejszym sprawozdaniu odnoszą się wyłącznie do badanego obiektu i do warunków i konfiguracji urządzeń w dniu wykonywania pomiarów.

## 9. Wyniki pomiarów

### Pole elektryczne

Nr pionu	Opis umiejscowienia pionu (punktu pomiarowego)	Wysokość pomiaru [m]	Zmierzona wartość natężenia pola elektrycznego E [V/m] <sup>1,5</sup>			Wartość natężenia pola elektrycznego powiększona o niepewność pomiaru <sup>4</sup> E [V/m]	Wskaźnikowa wartość poziomu emisji pól elektromagnetycznych WMe <sup>3</sup>	Współrzędne geograficzne pionu (punktu pomiarowego) <sup>2</sup>
			Sonda S-19	Sonda S-20	SUMA			
1	DPP przed wejściem do budynku, brak dostępu mieszkanie 9, ul. Pocztowa 1	2.0	1.8	1.8	1.8	2.3	0.08	53°7'24.6" 18°0'11.2"
2	DPP mieszkanie 8, ostatnie piętro, ul. Pocztowa 1	2.0	<b>2.8</b>	<b>2.8</b>	<b>2.8</b>	3.6	0.13	53°7'24.6" 18°0'11.2"
3	DPP płaszczyzna okna, sekretariat, ostatnie piętro, Jagiellońska 4	0.3-2.0	<1.0*	<1.0*	<1.0*	1.3	0.05	53°7'26.4" 18°0'11.5"
4	DPP płaszczyzna okna zamkniętego, klatka schodowa, ostatnie piętro, Jagiellońska 4	0.3-2.0	<1.0*	<1.0*	<1.0*	1.3	0.05	53°7'25.7" 18°0'11.9"
5	DPP płaszczyzna okna, pokój 208, ostatnie piętro, Jagiellońska 4	2.0	2.0	2.0	2.0	2.5	0.09	53°7'26.4" 18°0'11.9"
6	DPP płaszczyzna okna zamkniętego, sala 208, ostatnie piętro, ul. Jagiellońska 4	0.3-2.0	<1.0*	<1.0*	<1.0*	1.3	0.05	53°7'26.0" 18°0'11.9"
7	DPP wewnątrz kościoła	0.3-2.0	<1.0*	<1.0*	<1.0*	1.3	0.05	53°7'27.5" 18°0'10.8"
8	DPP płaszczyzna okna zamkniętego, ostatnie piętro, klatka schodowa, Jagiellońska 1	0.3-2.0	<1.0*	<1.0*	<1.0*	1.3	0.05	53°7'27.8" 18°0'12.6"
9	DPP wewnątrz centrum handlowego, 1 piętro, Jagiellońska 1	0.3-2.0	<1.0*	<1.0*	<1.0*	1.3	0.05	53°7'27.1" 18°0'13.0"
10	DPP, parking poziom P3, ostatnia kondycja budynku.	2.0	1.2	1.2	1.2	1.5	0.05	53°7'27.1" 18°0'13.3"
11	DPP, szkoła medyczna, 1 piętro pokój numer 4, płaszczyzna okna zamkniętego, ul. Jagiellońska 1	0.3-2.0	<1.0*	<1.0*	<1.0*	1.3	0.05	53°7'26.8" 18°0'13.0"
12	DPP - budynek instalacji, poddasze	0.3-2.0	<1.0*	<1.0*	<1.0*	1.3	0.05	53°7'26.0" 18°0'13.0"
13	DPP- budynek instalacji, 2 piętro, płaszczyzna okna otwartego	2.0	1.7	1.7	1.7	2.2	0.08	53°7'26.0" 18°0'12.6"
14	GKP w odległości 8m od anteny sektorowej az. 240°	2.0	1.4	1.4	1.4	1.8	0.06	53°7'25.7" 18°0'12.2"
15	GKP w odległości 23m od anteny sektorowej az. 240°	2.0	1.6	1.6	1.6	2	0.07	53°7'25.7" 18°0'11.5"
16	GKP w odległości 47m od anteny sektorowej az. 240°	0.3-2.0	<1.0*	<1.0*	<1.0*	1.3	0.05	53°7'25.3" 18°0'10.4"
17	GKP w odległości 6m od anteny radioliniowej az. 320°	2.0	1.3	1.3	1.3	1.7	0.06	53°7'26.0" 18°0'12.6"
18	GKP w odległości 21m od anteny radioliniowej az. 320°	2.0	1.7	1.7	1.7	2.2	0.08	53°7'26.4" 18°0'11.9"
19	GKP w odległości 48m od anteny radioliniowej az. 320°	2.0	1.5	1.5	1.5	1.9	0.07	53°7'27.1" 18°0'11.2"
20	GKP w odległości 88m od anteny sektorowej az. 240°	0.3-2.0	<1.0*	<1.0*	<1.0*	1.3	0.05	53°7'24.6" 18°0'8.6"
-	GKP w odległości 265m od anteny sektorowej az. 240°	0.3-2.0	<1.0*	<1.0*	<1.0*	1.3	0.05	53°7'21.7" 18°0'0.4"

Sprawozdanie z badań bez pisemnej zgody laboratorium nie może być powielane inaczej niż w całości.  
Wynik przedstawione w niniejszym sprawozdaniu odnoszą się wyłącznie do badanego obiektu i do warunków i konfiguracji urządzeń w dniu wykonywania pomiarów.

Pole magnetyczne (wyznaczone na podstawie pomiaru wartości natężenia pola elektrycznego)

Nr pionu	Opis umiejscowienia pionu (punktu pomiarowego)	Wysokość pomiaru [m]	Wartość natężenia pola magnetycznego H [A/m] <sup>1</sup>			Wartość natężenia pola magnetycznego powiększona o niepewność pomiaru <sup>4</sup> H [A/m]	Wskaźnikowa wartość poziomu emisji pól elektromagnetycznych WM <sub>H</sub> <sup>3</sup>	Współrzędne geograficzne pionu (punktu pomiarowego) <sup>2</sup>
			Sonda S-19	Sonda S-20	SUMA			
1	DPP przed wejściem do budynku, brak dostępu mieszkanie 9, ul. Pocztowa 1	2.0	0.005	0.005	0.005	0.006	0.08	53°7'24.6" 18°0'11.2"
2	DPP mieszkanie 8, ostatnie piętro, ul Pocztowa 1	2.0	<b>0.007</b>	<b>0.007</b>	0.007	0.009	0.13	53°7'24.6" 18°0'11.2"
3	DPP płaszczyzna okna, sekretariat, ostatnie piętro, Jagiellońska 4	0.3-2.0	<0.003*	<0.003*	<0.003*	0.003	0.05	53°7'26.4" 18°0'11.5"
4	DPP płaszczyzna okna zamkniętego, klatka schodowa, ostatnie piętro, Jagiellońska 4	0.3-2.0	<0.003*	<0.003*	<0.003*	0.003	0.05	53°7'25.7" 18°0'11.9"
5	DPP płaszczyzna okna, pokój 208, ostatnie piętro, Jagiellońska 4	2.0	0.005	0.005	0.005	0.007	0.09	53°7'26.4" 18°0'11.9"
6	DPP płaszczyzna okna zamkniętego, sala 208, ostatnie piętro, ul. Jagiellońska 4	0.3-2.0	<0.003*	<0.003*	<0.003*	0.003	0.05	53°7'26.0" 18°0'11.9"
7	DPP wewnątrz kościoła	0.3-2.0	<0.003*	<0.003*	<0.003*	0.003	0.05	53°7'27.5" 18°0'10.8"
8	DPP płaszczyzna okna zamkniętego, ostatnie piętro, klatka schodowa, Jagiellońska 1	0.3-2.0	<0.003*	<0.003*	<0.003*	0.003	0.05	53°7'27.8" 18°0'12.6"
9	DPP wewnątrz centrum handlowego, 1 piętro, Jagiellońska 1	0.3-2.0	<0.003*	<0.003*	<0.003*	0.003	0.05	53°7'27.1" 18°0'13.0"
10	DPP, parking poziom P3, ostatnia kondycja budynku.	2.0	0.003	0.003	0.003	0.004	0.06	53°7'27.1" 18°0'13.3"
11	DPP, szkoła medyczna, 1 piętro pokój numer 4, płaszczyzna okna zamkniętego, ul. Jagiellońska 1	0.3-2.0	<0.003*	<0.003*	<0.003*	0.003	0.05	53°7'26.8" 18°0'13.0"
12	DPP - budynek instalacji, poddasze	0.3-2.0	<0.003*	<0.003*	<0.003*	0.003	0.05	53°7'26.0" 18°0'13.0"
13	DPP- budynek instalacji, 2 piętro, płaszczyzna okna otwartego	2.0	0.005	0.005	0.005	0.006	0.08	53°7'26.0" 18°0'12.6"
14	GKP w odległości 8m od anteny sektorowej az. 240°	2.0	0.004	0.004	0.004	0.005	0.06	53°7'25.7" 18°0'12.2"
15	GKP w odległości 23m od anteny sektorowej az. 240°	2.0	0.004	0.004	0.004	0.005	0.07	53°7'25.7" 18°0'11.5"
16	GKP w odległości 47m od anteny sektorowej az. 240°	0.3-2.0	<0.003*	<0.003*	<0.003*	0.003	0.05	53°7'25.3" 18°0'10.4"
17	GKP w odległości 6m od anteny radioliniowej az. 320°	2.0	0.003	0.003	0.003	0.004	0.06	53°7'26.0" 18°0'12.6"
18	GKP w odległości 21m od anteny radioliniowej az. 320°	2.0	0.005	0.005	0.005	0.006	0.08	53°7'26.4" 18°0'11.9"
19	GKP w odległości 48m od anteny radioliniowej az. 320°	2.0	0.004	0.004	0.004	0.005	0.07	53°7'27.1" 18°0'11.2"
20	GKP w odległości 88m od anteny sektorowej az. 240°	0.3-2.0	<0.003*	<0.003*	<0.003*	0.003	0.05	53°7'24.6" 18°0'8.6"
-	GKP w odległości 265m od anteny sektorowej az. 240°	0.3-2.0	<0.003*	<0.003*	<0.003*	0.003	0.05	53°7'21.7" 18°0'0.4"

GKP – Główny Kierunek Pomiarowy

DPP – Dodatkowy Pion Pomiarowy

<sup>1</sup> wyniki oznaczone \* są wynikami poniżej czułości zestawu pomiarowego

<sup>2</sup> współrzędne geograficzne pozyskane metodą pomiaru bezpośredniego

<sup>3</sup> do wyznaczenia wartości wskaźnikowej WM<sub>E</sub> i WM<sub>H</sub> przyjęto na podstawie uzgodnień z klientem oraz rozpoznania źródeł, jako wartości dopuszczalne pola elektrycznego i magnetycznego odpowiednio 28 V/m i 0,073 A/m.

<sup>4</sup> do wyznaczenia niepewności dla wyników poniżej czułości zestawu pomiarowego, przyjęto niepewność dla minimalnej wartości z zakresu pomiarowego.

<sup>5</sup> maksymalna wartość chwilowa

Niepewność oszacowano zgodnie z dokumentem P-03 „Procedura nadzoru nad wyposażeniem” w postaci niepewności rozszerzonej wynikającej z niepewności standardowej pomnożonej przez współczynnik rozszerzenia k=2.

Sprawozdanie z badań bez pisemnej zgody laboratorium nie może być powielane inaczej niż w całości.

Wynik przedstawione w niniejszym sprawozdaniu odnoszą się wyłącznie do badanego obiektu i do warunków i konfiguracji urządzeń w dniu wykonywania pomiarów.

Całkowita szacowana niepewność rozszerzona składowej E wynosi odpowiednio:  
sonda S-19: 27.4% dla częstotliwości do 4 GHz, sonda S-20: 45.5% dla częstotliwości do 4 GHz

Umiejscowienie pionów (punktów) pomiarowych przedstawiono w załączniku nr 2 do niniejszego sprawozdania.

## 10. Omówienie wyników pomiarów

W związku z tym, że żadna z wartości zmierzonych, udokumentowanych w tabelach w pkt. 9, uzyskanych w skutek zastosowania pomiaru szerokopasmowego, powiększonego o rozszerzoną niepewność pomiaru U dla współczynnika rozszerzenia  $k = 2$  nie przekroczyła 70% najniższej dopuszczalnej wartości składowej elektrycznej lub magnetycznej pola dla objętych pomiarami zakresów częstotliwości, nie uwzględnia się poprawek pomiarowych.

W wyniku zastosowania sposobu sprawdzenia dotrzymania dopuszczalnych poziomów pól elektromagnetycznych w środowisku, zgodnie pkt 25 ppkt 1 Rozporządzenia Ministra Klimatu z dnia 17 lutego 2020 r. (Dz. U. 2022, poz. 2630), w związku z tym, że żadna z wartości wskaźnikowych, udokumentowanych w tabelach w pkt. 9 nie przekracza wartości 1, stwierdza się, że w miejscach, w których wykonano pomiary w otoczeniu instalacji radiokomunikacyjnej 35000 (45002N!) GBY\_BYDGOSZCZ\_JAGIELLONSKA6, dopuszczalne poziomy pól elektromagnetycznych w środowisku należy uznać za dotrzymane.

Miejsca niedostępne podczas wykonywania pomiarów wskazane zostały w pkt. 9 (Wyniki pomiarów) lub na załączniku przedstawiającym usytuowanie pionów pomiarowych.

## 11. Podstawa prawna

- 1) Ustawa z dnia 27 kwietnia 2001 r. Prawo ochrony środowiska (Dz.U. 2022 poz. 2556)
- 2) Rozporządzenie Ministra Zdrowia z dnia 17 grudnia 2019 r. w sprawie dopuszczalnych poziomów pól elektromagnetycznych w środowisku (Dz. U. 2019, poz. 2448)
- 3) Rozporządzenie Ministra Klimatu z dnia 17 lutego 2020 r. w sprawie sposobów sprawdzania dotrzymania dopuszczalnych poziomów pól elektromagnetycznych w środowisku (Dz. U. 2022, poz. 2630),
- 4) Akredytacja nr AB 419 wydana przez Polskie Centrum Akredytacji (wydanie 21, z dnia 11 kwietnia 2023 r.)

## 12. Spis załączników

- Załącznik 1. Lokalizacja obiektu badań
- Załącznik 2. Usytuowanie pionów (punktów) pomiarowych
- Załącznik 3. Dokumentacja fotograficzna obiektu badań

## 13. Data wydania i autoryzowania sprawozdania

Obliczenia i sprawozdanie wykonał :

Sprawozdanie autoryzował:

**Koniec sprawozdania**




Sprawozdanie z badań bez pisemnej zgody laboratorium nie może być powielane inaczej niż w całości.  
Wynik przedstawione w niniejszym sprawozdaniu odnoszą się wyłącznie do badanego obiektu i do warunków i konfiguracji urządzeń w dniu wykonywania pomiarów.



Załącznik nr 1	INSTALACJA RADIOKOMUNIKACYJNA T-Mobile Polska S.A. 35000 (45002N!) GBY_BYDGOSZCZ_JAGIELLONSKA6 Lokalizacja instalacji radiokomunikacyjnej
----------------	--





Załącznik nr 2	<p style="text-align: center;">Instalacja radiokomunikacyjna T-Mobile Polska S.A.                  GBY_BYDGOSZCZ_JAGIELLONSKA6 (45002N!)</p> <p style="text-align: center;">Usytuowanie pionów pomiarowych w otoczeniu instalacji radiokomunikacyjnej</p>
	<p>Legenda:</p> <div style="display: flex; justify-content: space-around; align-items: center;"> <div style="text-align: center;">                   Pion pomiarowy             </div> <div style="text-align: center;">                   Kierunek oddziaływania anten sektorowych             </div> <div style="text-align: center;">                   Kierunek oddziaływania anten radioliniowych             </div> </div>



Załącznik nr 3

INSTALACJA RADIOKOMUNIKACYJNA T-Mobile Polska S.A. 35000 (45002N!) GBY\_BYDGOSZCZ\_JAGIELLONSKA6  
Zdjęcia instalacji radiokomunikacyjnej